

مرور مؤثر نتایج جستجوی تصاویر با تلخیص بصری و متنوع از طریق خوشبندی

فاطمه علمدار و محمد رضا کیوان پور

دانشگاه الزهرا

چکیده:

با رشد بی سابقه تولید تصاویر دیجیتال و استفاده از منابع چندرسانه‌ای، نیاز به جستجوی تصاویر و مطالب، افزایش یافته است. پردازش نظاممند این اطلاعات پیش‌نیازی اساسی برای تحلیل، سازماندهی و مدیریت مؤثر آن محسوب می‌شود. از طرفی مجموعهٔ عظیمی از تصاویر بر روی وب در دسترس عموم قرار گرفته‌اند و بسیاری از موتورهای جستجو، امکان جستجوی تصاویر وب را بر مبنای کلمات کلیدی مهیا کرده‌اند. برای یافتن تصویر مطابق با نیاز و خواست افراد توسط موتورهای جستجوی تصاویر، چالش‌هایی همچون نارسایی کلمهٔ پرس‌وجو، تعداد زیاد تصاویر نامرتبط با جستجوی انجام شده، تعداد زیاد تصاویر برگشتی و نبودن تلخیص، وقت‌گیری‌بودن مرور تمامی تصاویر و عدم تنوع وجود دارد. خوشبندی نتایج جستجوی تصاویر می‌تواند راه حل مؤثری برای این مشکلات باشد.

در این پژوهش، چند الگوریتم برای خوشبندی نتایج تصاویر موتورهای جستجو پیشنهاد شده است. تلخیص ایجاد شده از خوشبندی، به کاربر این امکان را می‌دهد که تصاویر را به راحتی مرور کرده و حدود و محتوای کلی تمامی تصاویر بازگشته را در زمانی کوتاه و تعداد کمی کلیک به دست آورد. با خوشبندی، مجموعهٔ متنوعی از تصاویر که تفاسیر ممکن کلمهٔ کلیدی را دربر دارد، ارائه می‌شود و خوشبدهای ایجاد شده، علاوه بر نمایش دادن تنوع‌های ناشی از ابهامات، تنوع بصری را نیز پوشش می‌دهند. بر اساس آزمایش‌های صورت گرفته، این رویکرد پیشنهادی باعث بهبود در نتایج خوشبندی تصاویر می‌شود.

وازگان کلیدی: خوشبندی تصاویر، الگوریتم Folding، استخراج ویژگی، تنوع بصری، مرور مؤثر، موتور جستجوی تصاویر.

مطالعه قرار گرفته و تعدادی از راهبردها پیشنهاد شده‌اند¹ (Liu, 2004). بسیاری از موتورهای جستجوی تجاری، با توسعه فناوری‌هایی، این امکان را به کاربر می‌دهند که میلیون‌ها تصویر وب را بر مبنای کلمات کلیدی جستجو کنند.

بیشتر موتورهای جستجوی تصاویر موجود مانند Microsoft Bing image search, Google image search, Yahoo! Image search (فراداده‌ها²) برای جستجو استفاده می‌کنند؛ بنابراین برای جستجوی تصاویر از روش‌های جستجوی مبتنی بر متن استفاده می‌شود. نتایج جستجو معمولاً به صورت فهرستی مرتب شده نمایش داده می‌شود که بازتاب‌دهنده شباهت فراداده‌های تصاویر به پرس‌وجوی متنی³ است. درنتیجه

۱- مقدمه

با توجه به پیشرفت سریع در ساخت افزار و نرم‌افزار، وب جهان‌گستر⁴ به عنوان یک شیوه انتشار برخط⁵ به یک منبع چندرسانه‌ای در حال رشد تبدیل شده است و مجموعهٔ عظیمی از تصاویر بر روی وب در دسترس عموم قرار گرفته‌اند. ممکن است به نظر برسد که وب جهان‌گستر با تعداد بسیار وسیع و دائمًا در حال رشد تصاویر دیجیتال، برای پیدا کردن تصویری که مطابق با نیاز و خواست افراد است، حقیقتاً کمک کننده است؛ اما این نظر تا حدودی غلط است. در عوض اغلب کاربران با تعداد زیاد تصاویر در دسترس سردرگم می‌شوند.

به منظور کمک به کاربر که تصویر مورد نظر خود را بر روی وب بیابد، مسئله بازیابی تصاویر وب، سال‌ها مورد

³ - Meta data

⁴ - Textual query

سال ۱۳۹۰ شماره ۲ پیاپی ۱۶

¹ - World Wide Web

² - On-line publication mechanism



هرقدر که فراداده‌ها بهتر بتوانند محتوای تصویر را نشان دهند، بازدهی بازیابی بهتر خواهد بود.

جستجوی تصویر در موتورهای جستجوی تصاویر برای کاربر مشکلاتی را ایجاد می‌کند، از جمله:

تارساخوند کلمه پرس‌وجو: با مشاهده یک تصویر، مفهوم، مقصود و زیبایی آن بهسادگی درک می‌شود و یک تصویر می‌تواند اطلاعاتی را به بیننده القا کند که کلمات قادر به بیان آن نیستند(*van Leuken, 2009*). بهدلیل همین طبیعت غنی و توان گر محتوای تصاویر و معنای محدودی که در ساختار پرس‌وجو مبتنی بر کلمه کلیدی وجود دارد، اغلب برای کاربران مشکل است که اطلاعات مورد نیاز خود را به دقت در قالب یک کلمه پرس‌وجو فرموله کنند *van Zwol, 2008*.

تعداد زیاد تصاویر نامرتبه: کاربر ممکن است با تعداد زیاد تصاویر تکراری که حتی بعضی از آنها چندان مرتبه با مورد جستجو نیستند، مواجه شود (*Zhang, 2005*). مرتب‌نبوذ تصاویر ممکن است بهدلیل ابهام کلمه مورد جستجو باشد (*Fergus, 2005*) و یا اینکه فراداده‌های تصاویر، نشان‌دهنده آن تصاویر نباشند. نتایج مرتبه‌تر به‌طور معمول در اوایل نتایج جستجو قرار دارند و برای موضوعاتی که رایج‌ترند و بیشتر جستجو می‌شوند، تصاویر مرتبه‌تری برگردانده می‌شود. چنین تجربیاتی در جستجو، باعث نامیدی کاربران از دستیابی به تصویر موردنظر می‌شود.

نیوود تلخیص!: در صورتی که کاربر بخواهد حدود و محتوای کلی تمامی تصاویر بازگشتی را به دست آورد، باید بر روی تمامی صفحات، کلیک کند و یا scroll صفحه را پایین بشکند تا نگاهی کلی به همه تصاویر بیاندارد. حتی با مشاهده تمامی تصاویر، هنوز هم دریافت سریع محتوای تعداد زیادی از تصاویر (به‌طور معمول در حدود ۱۰۰۰ تصویر) برای یک کاربر عادی آسان نیست (*Wang, 2010*).

وقت‌گیر بودن: کاربران موتورهای جستجو باید فهرست مرتب شده را برای یافتن تصویر موردنظر بگردند. این کار امری وقت‌گیر است؛ زیرا نتایج ممکن است شامل موضوعات^۲ مختلف باشند و این موضوعات به‌طور نامشخصی با هم ترکیب شده باشند. این موقعیت می‌تواند بدتر شود، زمانی که یک موضوع غالب بوده و سراسر فهرست را پوشاند؛ اما چیزی نباشد که کاربر به دنبال آن است (*Cai, 2004*).

عدم تنوع^۳: کلمه پرس‌وجو ممکن است مبهم باشد و رتبه‌بندی نتایج به‌طور مناسب جهات مختلف این ابهام را تحت پوشش قرار ندهد. در مواردی که کلمه پرس‌وجو مبهم نیست، این امکان وجود دارد که رتبه‌بندی حاصل فاقد تنوع بصری باشد (*van Leuken, 2009*).

تنوع مجموعه تصاویر، بستگی به ابهام کلمه پرس‌وجو دارد. این ابهام شامل دو نوع «ابهام مفهوم کلمه»^۴ و «ابهام مختص نوع»^۵ است (*van Zwol, 2008*). برای درک نوع ابهام، فرض کنید که کاربر «apple» را به عنوان کلمه پرس‌وجو وارد کرده است. این کلمه کلیدی می‌تواند هم مفهوم «میوه سبب» و هم «شرکت سبب» داشته باشد. به این نوع ابهام، «ابهام مفهوم کلمه» گفته می‌شود. زمانی که کلمه پرس‌وجو به «apple company» تصحیح شود، نوع دیگری از ابهام ظاهر می‌شود. به طور ایده‌آل نتایج جستجو، هنوز هم متنوع و گوناگون هستند و شامل نمونه‌هایی از محصولات مختلف شرکت، لوگوی آن و ... می‌شوند. به این نوع ابهام، «ابهام مختص نوع» می‌گویند. اگر کلمه پرس‌وجو مبهم نباشد، نوع دیگری از تنوع وجود دارد؛ همچون تنوع بصری که این نوع تنوع از فراداده‌های همبسته شده با یک تصویر به دست نمی‌آید.

توجه به ویژگی‌های بصری و خوشبندی نتایج جستجوی تصاویر بر مبنای این ویژگی‌ها، می‌تواند راه حلی برای مشکلات ذکر شده باشد. ویژگی‌های سطح پایین در یک تصویر، معرف کلیات تصویرند و اشیا یا مفاهیم موجود در تصویر را توصیف نمی‌کنند، مانند ویژگی‌های رنگ، بافت، شکل و موقعیت مکانی^۶. در این راه حل، پس از اتمام جستجوی تصاویر بر مبنای کلمه پرس‌وجو، در گام بعد، نتایج برطبق ویژگی‌های سطح پایین خوشبندی می‌شوند. برای سازمان‌دهی به نحوه نمایش نتایج جستجوی تصاویر خوشبندی شده، نماینده^۷ هر خوش بده کاربر نشان داده می‌شود و کاربر بنابر نیاز و علاقه یکی از این نماینده‌ها را انتخاب کرده و تصاویر مربوط به آن خوش را مشاهده می‌کند. تلخیص ایجاد شده از خوشبندی، به کاربر این امکان را می‌دهد که تصاویر را به راحتی مرور کرده^۸ و حدود و محتوای کلی تمامی تصاویر بازگشتی را در زمانی کوتاه و تعداد کمی کلیک به دست آورد. با خوشبندی، مجموعه متنوعی از تصاویر که بسیاری از تفاسیر ممکن کلمه کلیدی

³ - Diversity

⁴ - Word sense ambiguity

⁵ - Type specific ambiguity

⁶ - Spatial location

⁷ - Representative

⁸ - Browse

¹ - Summarization

² - Topics

ویژگی‌های سطح پایین، رویکرد خوشبندی یک‌مسیره^۵ را اتخاذ می‌کند و نتایج خوشبندی رویکردها به‌منظور گروه‌بندی تصاویر موتور جستجو، ترکیب می‌شوند. در این پژوهش تنها از دو ویژگی بصری استفاده شده است و پایگاه داده استفاده شده محدود به ۶ مورد می‌باشد.

در (Cai, 2004) یک رویکرد خوشبندی سلسله-مراتبی ارائه شده است که نتایج جستجوی تصاویر وب را با توجه به تحلیل بصری، متنی و لینک‌ها گروه‌بندی می‌کند. هدف این روش خوشبندی نتایج جستجوی کلمات مبهم به منظور تسهیل مرور تصاویر توسط کاربر است. این رویکرد، بیشتر بر روی خوشبندی نتایج موارد جستجو شده مبهم تمرکز کرده است و یک اشکال بارز آن عدم توجه به میزان ارتباط تصاویر به کلمه جستجو شده در هنگام خوشبندی است.

در (Deselaers, 2003) برای بهبود راحتی کارکردن کاربر^۶ با موتورهای جستجوی تصویر که مبتنی بر متن کار می‌کنند، ترکیبی از روش‌های بینایی ماشین و داده‌کاوی ارائه شده است. در روش ذکر شده در این مرجع، نیاز است که تعداد خوشبندی تعیین شود و نتایج خوشبندی تصاویر نتیجه شده از جستجو به صورت کمی و مقایسه‌ای ارائه نشده است.

رویکرد «نژدیک‌ترین همسایه‌های مشترک^۷ (SNN)» در (Moëllie, 2008) برای خوشبندی تصاویر وب استفاده شده است که هم ویژگی‌های بصری و هم ویژگی‌های متنی را در نظر می‌گیرد. SNN یک روش خوشبندی مبتنی بر چگالی است، اما تضمین تنوع نتایج آن به سادگی امکان‌پذیر نیست. این روش متنگی به پارامتری سراسری برای تخمین چگالی است و توانایی کمی در ایجاد خوشبندی با فشردگی^۸ متفاوت دارد. این روش نیاز به توان پردازشی بالایی برای تولید خوشبندی نهایی دارد.

Jia و همکاران، یک الگوریتم خوشبندی بر مبنای انتشار وابستگی^۹ ارائه کرده و با استفاده از ویژگی‌های بصری سعی در یافتن نمونه‌های تصاویر و سازمان‌دهی نتایج جستجوی تصاویر دارد (Jia, 2008).

TeBIC^{۱۰} یک روش خوشبندی نتایج جستجوی تصاویر بر مبنای اطلاعات متنی است (Wang, 2009). هدف این روش، ایجاد خوشبندی تصاویر با اسامی معنادار و غلبه بر هزینه

را در بر دارند، ارائه می‌شود و خوشبندی ایجاد شده، علاوه‌بر نمایش دادن تنوع‌های ناشی از ابهامات، تنوع بصری را نیز پوشش می‌دهند. خوشبندی علاوه‌بر راحت‌تر کردن کار کاربر، باعث بازیابی مؤثر تر تصاویر می‌شود.

در این پژوهش روشی برای خوشبندی نتایج تصاویر موتورهای جستجو پیشنهاد شده است که با استفاده از پیش‌پردازش و استخراج ویژگی‌های مؤثر و چند الگوریتم تعیین ماده شده، انجام گرفته است. بر اساس آزمایش‌های صورت گرفته، این روش باعث بهبود در نتایج خوشبندی تصاویر می‌شود.

ادامه مقاله بدین صورت است: در بخش دو پیشینه تحقیق بیان می‌گردد. تعدادی از الگوریتم‌های خوشبندی تصاویر وب در بخش سه مطرح می‌شوند. بخش چهار سیستم پیشنهادی را تشریح می‌کند. آزمایش‌ها و نتایج در بخش پنجم آورده شده است و درنهایت در بخش شش نتیجه‌گیری ارائه می‌شود.

۲- پیشینه تحقیق

در این بخش به تعدادی از کارهای انجام شده در زمینه خوشبندی تصاویر وب پرداخته می‌شود.

Jing (J-Group, 2006) تنها از متن احاطه‌کننده^{۱۱} تصویر برای گروه‌بندی نتایج جستجوی تصاویر استفاده می‌کند. این روش با استفاده از تحلیل متن، ابتدا خوشبندی معنایی مرتبط با کلمه پرس‌وحو را شناسایی کرده و سپس خوشبندی معنایی را با انتساب تصاویر متناظر با هر خوشبندی انجام می‌دهد. ویژگی این روش ایجاد گروه‌ها با اسامی معنادار می‌باشد؛ اما مضماین و ویژگی‌های بصری را برای دسته‌بندی درنظر نمی‌گیرد.

Gao و همکاران، روشی برای خوشبندی تصاویر وب با ترکیب سازگار ویژگی‌های سطح پایین و متن احاطه‌کننده تصویر در (Gao, 2005) پیشنهاد کردند. این روش به عنوان یک مسئله بهینه‌سازی چند منظوره محدود تنظیم و فرموله شده است. این روش بیشتر بر روی برچسب‌های همبسته شده^{۱۲} به تصاویر توجه دارد.

Li و همکارانش در (Li, 2005)، یک الگوریتم خوشبندی پیوندی برای کار با فضای ویژگی نامتجانس^{۱۳} مطرح کرده است. این روش برای متون استخراج شده از صفحات وب، رویکرد خوشبندی مشترک^{۱۴} و برای

⁵ - One-way

⁶ - User-freindliness

⁷ - Shared nearest neighbors

⁸ - Compactness

⁹ - Affinity propagation

¹⁰ - Text Based Image Clustering

¹ - Surrounding text

² - Associated tags

³ - Inhomogeneous

⁴ - Co-clustering

۳- الگوریتم‌های خوشبندی تصاویر وب

به دلیل مقایسه‌ها و ارجاعات در بخش‌های بعدی به سه الگوریتم خوشبندی (*van Leuken, 2009*)¹, *Reciprocal election*, *Maxmin* اختصار به این الگوریتم‌ها پرداخته می‌شود. قبل از توصیف الگوریتم‌ها علامت‌گذاری‌های به کاربرده شده در این الگوریتم‌ها و الگوریتم‌های پیشنهادی، بیان می‌گردد:

i. مجموعه‌ای از تصاویر نتیجه شده از جستجو که شامل N تصویر است.

L: فهرست مرتب تصاویر I یعنی: $L = L_1, L_2, \dots, L_N$.
C: یک خوشبندی و افزایش‌بندی از I است که در آن همه تصاویر به K خوش‌بندی تقسیم می‌شوند C_1, C_2, \dots, C_K .
 $C_k = I$ برای همه $k \in K$ و $n_k = \sum_{l=1}^K C_l$. تعداد تصاویر در خوشة C_k است، بنابراین $n_k = N$.
R: مجموعه نماینده‌های همه خوشه‌های خوشبندی است که R_k نماینده خوشة C_k است.

۱-۱- الگوریتم *Folding*

الگوریتم *Folding* به رتبه‌بندی اولیه و اصلی نتایج جستجوی تصویر هنگام انجام خوشبندی، اهمیت می‌دهد و به تصاویر با مرتبه بالاتر احتمال بالاتری نسبت می‌دهد که نماینده خوشه باشند. مرحله اول این راهبرد انتخاب تصاویر نماینده است. بعد از مشخص شدن نماینده‌ها، خوشه‌ها در اطراف هر نماینده خوشه با استفاده از قانون نزدیک‌ترین همسایه شکل می‌گیرند.

برای انتخاب نماینده‌ها، تصویر اول رتبه‌بندی یعنی L , همیشه به عنوان نماینده انتخاب می‌شود. در هنگام پیمودن فهرست مرتب شده به سمت پایین، هر تصویر با مجموعه‌ای از نماینده‌های پیشین مقایسه می‌شود. وقتی که یک تصویر به قدر کافی نسبت به همه نماینده‌گان انتخاب شده در R بی‌شباهت باشد، به فهرست نماینده‌گان اضافه می‌شود. این پارامتر مقایسه به عنوان متوسط فاصله‌ای که همه تصاویر در I تا «تصویر میانگین»³ دارند، تعریف می‌شود. در این روش، تصویر میانگین، تصویری با کوچک‌ترین متوسط فاصله تا تمامی دیگر تصاویر در نظر گرفته شده است (*van Leuken, 2009*).

۲-۳- الگوریتم *Maxmin*

الگوریتم *Maxmin* رتبه‌بندی اولیه و اصلی تصاویر را در نظر نمی‌گیرد و اولین نماینده R_1 به صورت تصادفی انتخاب می‌گردد. دومین نماینده R_2 , تصویری است که بزرگ‌ترین

محاسباتی بالای خوشبندی بر مبنای ویژگی‌های بصری عنوان شده است. اشکال اصلی این روش، این فرض است که تمامی اطلاعات موردنیاز برای خوشبندی از متن قابل استخراج است و ویژگی‌های بصری، اطلاعات اضافه‌تری در برندارند.

مسئله تنوع بصری در نتایج جستجوی تصاویر در (*van Leuken, 2009*) بررسی شده است. این پژوهش یک معیار شباهت وزن دار پویا پیشنهاد کرده است و با استفاده از این معیار و چند ویژگی بصری و سه روش خوشبندی ارائه شده، سعی در تلخیص مؤثر و متنوع دارد. در این روش به منظور سازمان دهی نمایش نتایج جستجوی تصویر، نماینده خوشه‌ها به کاربر نشان داده می‌شود و با انتخاب نماینده مورد نظر توسط کاربر، تصاویر خوشه قابل مشاهده هستند. تنوع بصری نتایج در این روش تضمین شده است.

«گردش تصادفی جذاب پویا»¹ (*Wang, 2010*), یک روش تلخیص بصری مبتنی بر تصویر برای نمایش نتایج جستجوی تصاویر می‌باشد. در این روش تنوع خوب² با استفاده از یک شمای تنظیم وزن پویا، تضمین شده است و میزان ارتباط و شباهت بین تصاویر با یک روش ارزیابی شباهت بصری که به صورت محلی مقیاس‌دهی شده، بررسی شده است. این رویکرد با استفاده از یک ساختار سلسه‌مراتبی، یک نمایش تعاملی مؤثر به کاربر ارائه می‌دهد، تا تصاویر توسط وی راحت‌تر مرور شوند.

در سیستم ارائه شده در این پژوهش، از چند ویژگی بصری برای محاسبه کردن جهات بصری متفاوت تصاویر استفاده شده است. چند الگوریتم برای خوشبندی پیشنهاد *van Leuken*, *Folding* شده است که مبتنی بر الگوریتم *2009* هستند. این الگوریتم ایده ساده و نتایج قابل قبولی دارد. در الگوریتم‌های پیشنهادی سعی شده با انتخاب مؤثرتر نماینده‌های خوشه‌ها، فازی کردن الگوریتم، وزن، تکرار و بهره‌بردن از مزایای الگوریتم‌های سلسه‌مراتبی عملکرد نسبت به الگوریتم *Folding* بهبود یابد. در این الگوریتم نیاز به مشخص ساختن تعداد خوشه‌ها نیست و به میزان ارتباط تصاویر به کلمه جستجو شده در هنگام خوشبندی نیز توجه شده است. پایگاه داده تصاویر این پژوهش، شامل تصاویری است که با جستجوی رایج جمع آوری شده است که این در موتورهای جستجوی رایج «پرس‌وجو»³ ۶۵ عنوان کلمه «پرس‌وجو» در موتورهای جستجوی رایج جمع آوری شده است که این عناوین شامل کلمات مبهم و غیرمبهم می‌باشد.

¹ - Dynamic absorbing random walk

² - A good diversity

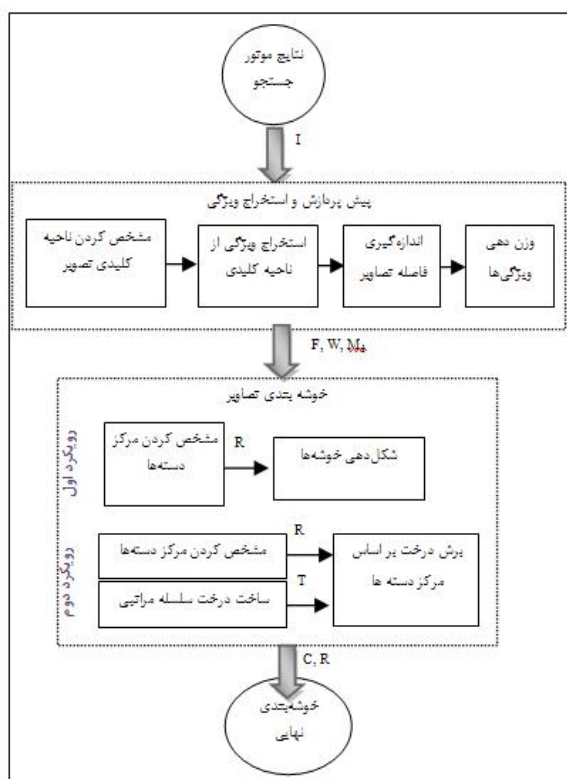


رویکرد کلی است که رویکرد اوّل بهطورکلی شامل دو مرحله مشخص کردن مرکز دسته‌ها R و شکل دهنده خوشبندی است. رویکرد دوم که برمبانی درخت‌های سلسله‌مراتبی می‌باشد دارای سه مرحله کلی مشخص کردن مرکز دسته‌ها R ، ساخت درخت سلسله‌مراتبی T و برش درخت بر اساس مرکز دسته است. خوشبندی C و مراکز خوشبندی R خروجی این زیرسیستم هستند.

الگوریتم‌های پیشنهاد شده در این پژوهش مبتنی بر الگوریتم Folding هستند و در سیستم پیشنهادی سعی شده است مراحل پیش‌پردازش و خوشبندی استخراج ویژگی را در مرحله پیش‌پردازش به جای استخراج ویژگی از کل تصویر، ویژگی‌ها از زیرتصویری استخراج می‌شوند که از لحاظ بصری بیشتر مورد توجه انسان است. و همچنین به ویژگی‌ها وزنی نسبت داده می‌شود تا ویژگی‌های توصیف‌کننده‌تر تأثیر بیشتری داشته باشند. در مرحله خوشبندی، الگوریتم‌هایی پیشنهاد شده که در این الگوریتم‌ها سعی شده است با انتخاب مؤثرتر نماینده‌های خوشبندی، فازی کردن الگوریتم، وزن، تکرار و بهره‌بردن از مزایای الگوریتم‌های سلسله‌مراتبی عملکرد نسبت به الگوریتم Folding بهبود یابد.

در ادامه مراحل زیرسیستم‌ها با جزئیات بیشتری در ادامه مراحل زیرسیستم‌ها با جزئیات بیشتری

شرح داده می‌شوند.



(شکل ۱): ساختار «سیستم خوشبندی نتایج جستجو پیشنهادی»

سال ۱۳۹۰ شماره ۲ پیاپی ۱۶

فاصله را تا R_1 دارد. برای دیگر نماینده‌ها، تصویری انتخاب می‌شود که بزرگترین حداقل فاصله^۱ را تا تمامی دیگر نماینده‌های انتخاب شده داشته باشد. پس از انتخاب نماینده‌ها، شکل‌گیری خوشبندی با استفاده از قانون زندیک‌ترین همسایه انجام می‌شود (van Leuken, 2009).

۳-۳ - الگوریتم Reciprocal election

برخلاف الگوریتم Folding راهبرد فرآیندهای انتخاب نماینده‌گان خوشبندی خوشبندی و تشکیل خوشبندی میان یکدیگر انجام می‌شود. ایده اصلی این روش این است که هر تصویر در I تصمیم می‌گیرد که بهوسیله کدام تصویر، بهتر بازماینده^۲ می‌شود. فرآیند رأی‌گیری برای هر تصویر مبتنی بر محاسبه رتبه‌های متقابل^۳ در رتبه‌بندی‌های I است. پس از تعیین رأی‌های تمامی تصاویر، تصویر با بیشترین تعداد رأی، به عنوان اولین نماینده R_1 انتخاب می‌گردد. و سپس خوشبندی R_1 با افزودن آن تصاویری که R_1 را در m تصویر بالای فهرست رتبه‌بندی خود دارند، شکل می‌گیرد. سپس اضا و نماینده آن خوشبندی از فهرست کاندیدای نماینده‌گی حذف خواهد شد و فرآیند تا جایی ادامه پیدا می‌کند که هر تصویر یا به عنوان نماینده یا عضوی از یک خوشبندی انتخاب شده باشد (van Leuken, 2009).

۴ - سیستم پیشنهادی

(شکل ۱) نشان‌دهنده ساختار «سیستم خوشبندی نتایج جستجو» پیشنهادی است. ورودی سیستم تصاویری هستند که با جستجوی یک کلمه پرس‌وجو در موتور جستجو نتیجه شده‌اند. سیستم خوشبندی پس از طی مراحلی، تصاویر خوشبندی شده را به کاربر ارائه می‌دهد. کاربر می‌تواند با انتخاب مرکز خوشبندی، تمامی تصاویر متعلق به هر خوشبندی مشاهده کند و تصویر مورد نظر خود را بیابد. این سیستم شامل دو زیرسیستم می‌باشد. ابتدا در زیرسیستم اوّل، بر روی تصاویر پیش‌پردازش‌های لازم انجام شده و ویژگی‌های آن‌ها استخراج می‌شوند. زیرسیستم دوم، خوشبندی تصاویر را انجام می‌دهد. زیرسیستم «پیش‌پردازش و استخراج ویژگی» شامل مراحل مشخص کردن ناحیه کلیدی تصویر، استخراج ویژگی از ناحیه کلیدی، اندازه‌گیری فاصله تصاویر و وزن دهنده خوبی است. ورودی این زیرسیستم، تصاویر منتج شده از موتور جستجو I است و خروجی آن بُردار ویژگی تمامی تصاویر F ، وزن‌ها W و ماتریس‌های M_d می‌باشد. زیرسیستم «خوشبندی تصاویر» قابل انجام با دو

^۱ - Largest minimum distance

^۲ - Best represented

^۳ - Reciprocal

۴-۲- استخراج ویژگی از ناحیه کلیدی تصویر

پس از مشخص شدن ناحیه کلیدی تصاویر، باید ویژگی های تصاویر از این ناحیه استخراج می شوند (شکل ۳). در آزمایش های انجام شده در این پژوهه، از هر تصویر هفت ویژگی استخراج شده اند تا خصوصیات مختلف تصویر را از نظر رنگ، بافت و موقعیت مکانی استخراج کنند. سعی شده است ویژگی هایی انتخاب شوند که در کارهای پیشین به مراتب بیشتر استفاده شده اند و نتایج بهتری داشته اند، ضمن اینکه استخراج آنها سرعت مناسبی داشته باشد و تا حدی فشرده باشد. ویژگی های سیستم پیشنهادی، ترکیبی از سه $Manjunath, \chi EHD^6, SCD^7, CLD^8$ ($Mpeg-7$)^۹، سه ویژگی بافت Tamura (درشتی و ریزی^{۱۰}، شدت نور^{۱۱}، راستا^{۱۲}) (Tamura, 1978) و یک ویژگی پیشنهادی به نام QuadHistogram استفاده شده است (جزئیات مربوط به این ویژگی در (Alamdar, 2011) آمده است). در ویژگی پیشنهادی QuadHistogram تجزیه درخت چهارتایی^{۱۳} بر روی تصاویر اعمال شده تا بلوک های همگن و در اندازه های مختلف مشخص شوند. سپس هیستوگرام رنگ و پیچیدگی برای هر سطح از بلوک (بلوک های هماندازه) استخراج می شود. برای محاسبه تطابق دو تصویر در این ویژگی از فاصله ذیل استفاده شده است:

$$d_{QH}(Q, I) = \alpha(\alpha_1(\sum_{b=1}^L Wh_b \sum_{k=1}^K |h_b^I(k) - h_b^Q(k)|) + \beta_1(\sum_{k=1}^K |h^I(k) - h^Q(k)|)) + \beta(\sum_{b=1}^L Ws_b |S_b^I - S_b^Q|) \quad (1)$$

I و Q تصاویر مورد مقایسه هستند. h_b هیستوگرام b امین سطح از بلوک های درخت چهارتایی است ($b = 1, 2, \dots, L$)، که L آخرین سطح است؛ به عنوان مثال تصویری با اندازه 128×128 دارای هشت سطح بلوک می باشد ($2^{8-1} = 128$) و سطح دوم بلوک این تصویر، شامل بلوک هایی با اندازه 64×64 است و حداکثر تعداد این بلوک ها می تواند 4 بلوک باشد. h_b هیستوگرام رنگ استخراج شده برای بلوک های همگن سطح b است. S_b تعداد بلوک های همگن همین سطح (پیچیدگی) می باشد. Wh_b وزن نرمال شده h_b است. K تعداد بین های هیستوگرام است و h هیستوگرام رنگ سراسری است. Ws_b وزن S_b می باشد. α_1, β_1 نسبت ترکیب با h_b و α, β نسبت ترکیب

⁶ - Color Layout Descriptor

⁷ - Scalable Color Descriptor

⁸ - Edge histogram descriptor

⁹ - Coarseness

¹⁰ - Contrast

¹¹ - Directionality

¹² - Quadtree decomposition

¹³ - Homogenous blocks

۱-۴- مشخص کردن ناحیه کلیدی تصویر

برای استخراج ویژگی، می توان ناحیه یا نواحی از تصویر را در نظر گرفت که از لحاظ انسانی مورد توجه بصری^۱ هستند. آنالیز توجه بصری، به خوبی برای اهداف بینایی ماشین مورد ارزیابی قرار گرفته و مدل هایی برای محاسبه توجه بصری توسعه یافته اند (Ma, 2003; Lamming, 1991; Niebur, 1998; Milanse, 1995; Baluja, 1997; Itti, 1998; Ahmad, 1991). در (Ahmad, 1991) به جای بررسی شیوه ادراک انسان توسط الگوریتم ها، یک چارچوب آنالیز توجه بصری برای تصاویر معرفی شده است؛ که این روش ساده و مؤثر بوده و نیاز به محاسبات پیچیده و زمان بالا ندارد. این چارچوب از هر تصویر سه سطح «توجه» استخراج می کند: چشم انداز مورد توجه^۲، سطوح مورد توجه^۳ و نقاط مورد توجه^۴. «چشم انداز مورد توجه» با استخراج زیر تصویری که دارای مهم ترین اطلاعات موجود در تصویر است، دقیق استخراج ویژگی را به طور مؤثر تسريع می کند. در حقیقت، «چشم انداز مورد توجه» قسمت اصلی و کلیدی تصویر با برقراری توازن میان ترکیب اجزا^۵ و اطلاعات مفید تصویر است. در این پژوهش برای استخراج ناحیه کلیدی تصویری که چارچوب کلی «چشم انداز مورد توجه» (Ma, 2003) استفاده شده است.

یکی از مراحل استخراج این ناحیه، کوانتیزه کردن رنگ است، که الگوریتم F-PSO-GA (ترکیبی از الگوریتم های PSO و GA به همراه FCM) بدین منظور پیشنهاد شده است (برای مشاهده جزییات این روش کوانتیزاسیون، به (Alamdar, 2010) مراجعه شود). این الگوریتم از مزایای هر سه الگوریتم بهره می برد؛ مسئله اساسی PSO این است که الگوریتم به طور زودرس به نقطه ای پایدار همگرا می شود، که لزوماً بیشینه نیست. برای جلوگیری از این واقعه به روزرسانی موقعیت از طریق سازو کار پیوندی GA انجام می شود و میزان شایستگی کروموزم ها با استفاده از تابع هدف فازی محاسبه می گردد. این الگوریتم باعث کوانتیزاسیون بهتر با خطای کمتر می شود (Alamdar, 2010). (شکل ۲) یک تصویر و ناحیه کلیدی مشخص شده در آن نشان می دهد.



(شکل ۲): (الف) تصویر اصلی، (ب) ناحیه کلیدی استخراج شده از تصویر (الف)

¹ - Visual attention

² - Attended view

³ - Attended areas

⁴ - Attended points

⁵ - Composition

می‌شود. فاصله بین تصویر i و j این‌چنین محاسبه می‌شود:

$$d_{ij} = \frac{1}{f} \sum_{k=0}^f \frac{1}{\sigma_k^2} d_k(i, j) \quad (2)$$

که f تعداد ویژگی‌ها است، $d_k(i, j)$ فاصله بین تصویر i و j بر طبق ویژگی k است؛ برای محاسبه فاصله در ویژگی‌های EHD و SCD از نرم L1 استفاده می‌شود، ویژگی CLD فاصله منحصر به فرد دارد *Manjunath, 2001*. ویژگی‌های تامور از فاصله اقلیدسی استفاده می‌کنند (*Tamura, 1978*) و فاصله در ویژگی QuadHistogram طبق رابطه ۱ محاسبه می‌شود.^۲ σ_k واریانس تمامی فواصل تصاویر بر طبق ویژگی k ام در مجموعه تصاویر است.

۴-۴- وزن دهی ویژگی‌ها

در این مرحله، ویژگی‌های استخراج شده وزن دهی می‌شوند. هر ویژگی استخراج شده می‌تواند یک «درجۀ اهمیت»^۹ داشته باشد که وزن ویژگی نامیده می‌شود (*Wang, 2004*). انتساب وزن به ویژگی‌ها، توسعه‌ای بر «انتخاب ویژگی»^{۱۰} است. مقادیر وزن در انتخاب ویژگی فقط یک یا صفر هستند، ولی در «وزن دهی ویژگی‌ها»، وزن‌ها در بازه $[1, 10]$ هستند. در این پژوهه وزن دهی ویژگی‌ها بر مبنای روشی صورت می‌گیرد که در (*Wang, 2004*) پیشنهاد شده است. این وزن دهی بهوسیله یادگیری وزن ویژگی‌ها بر مبنای شباهت بین نمونه‌ها^{۱۱} با روش نزول گرادیان انجام می‌شود. این یادگیری با حداقل کردنتابع ارزیابی^{۱۲} $E(w)$ انجام می‌شود و $E(w)$ را رابطه 3 تعریف می‌شود:

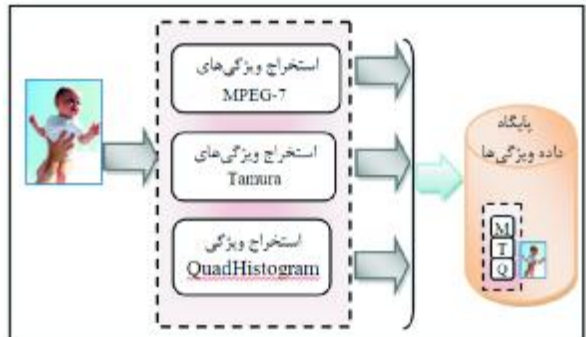
$$E(w) = \frac{2}{n(n-1)} \sum_i \sum_{j \neq i} \frac{1}{2} (\rho_{ij}^{(w)} (1 - \rho_{ij}^{(1)}) + \rho_{ij}^{(1)} (1 - \rho_{ij}^{(w)})) \quad (3)$$

در این رابطه $\rho_{ij}^{(w)}$ مقدار اندازه شباهت وزن دار، $\rho_{ij}^{(1)}$ مقدار اندازه شباهت بدون وزن و n نشان‌دهنده تعداد نمونه‌ها (تصاویر) است. برای حداقل کردن رابطه فوق از روش نزول گرادیان استفاده می‌شود.

۴-۵- رویکرد اول خوشه‌بندی پیشنهادی

این رویکرد کلی شامل دو مرحله است که مرحله اول آن مشخص کردن مرکز یا همان نماینده خوشه‌هاست. این مرکز به روی مشابه روش انتخاب نماینده الگوریتم *Folding* انتخاب می‌شوند. پس از مشخص شدن مرکز، در مرحله دوم

هیستوگرام با پیچیدگی است. این ویژگی در مقایسه با هیستوگرام رنگ عملکرد قابل توجهی از خود نشان می‌دهد (*Alamdar, 2011*).



(شکل ۳): استخراج ویژگی از ناحیه کلیدی تصویر

۴-۳- اندازه‌گیری فاصله تصاویر

در این مرحله باید معیاری برای اندازه‌گیری فاصله و شباهت مشخص شود که فاصله یا شباهت بین دو تصویر را بر مبنای ویژگی‌های استخراج شده، کمی سازی کند. یکی از مؤلفه‌های کلیدی در الگوریتم‌های خوشه‌بندی، نحوه ترکیب ویژگی‌ها است که در حقیقت همان اندازه‌گیری شباهت و فاصله بین اشیاست (*van Leuken, 2009*). در خوشه‌بندی و بازیابی تصویر، استفاده همزمان از ویژگی‌های مختلف برای محاسبه شباهت یا فاصله بین تصاویر، معمول است. هر یک از این ویژگی‌ها نمایان گر جهات مختلف^۱ تصویر هستند و هریک بازنمایی^۲ مخصوص خود (به عنوان مثال یک عدد)، یک بُردار، یک هیستوگرام) و روش تطابق^۳ متناظر (به عنوان مثال فاصله اقلیدسی، نرم L1) دارند. این ویژگی‌ها ممکن است در حدود^۴ و توزیع^۵ متفاوتی باشند، که لازم است همه آن‌ها به منظور استفاده در الگوریتم خوشه‌بندی، در یک مقدار واحد تجمعی شوند.

در اینجا از یک «استراتژی رتبه‌بندی پویا»^۶ استفاده شده است که در (*van Leuken, 2009*) پیشنهاد شده است. در این استراتژی، ویژگی‌های مختلف توسط واریانس فواصل (نمال شده) همه تصاویر، وزن دهی می‌شود. فاصله تصویر بر طبق یک ویژگی بر واریانس آن ویژگی تقسیم می‌شود. این امر باعث می‌شود که فواصل تصاویر بر طبق ویژگی‌های مختلف که در محدوده‌های مختلف قرار دارند، در یک محدوده مشابه قرار گیرند و به ویژگی‌هایی که تفکیک کننده‌های^۷ خوبی هستند، وزن بزرگ‌تری نسبت داده

¹ - Different aspects

² - Representation

³ - A scalar

⁴ - Matching method

⁵ - Range

⁶ - Distribution

⁷ - Dynamic ranking strategy

⁸ - Discriminators

⁹ - Importance degree

¹⁰ - Feature selection

¹¹ - Samples

¹² - Evaluation function

Algorithm Representatives Selection

Input: Ranked list L of I and distance matrix m_d
Output: Representatives R

- 1: Let the image L_1 be the first representative R_1
- 2: **for** Each image L_i **do**
- 3: **if** $d(L_i, R_k) > \varepsilon$ for all representatives R_k **then**
- 4: add L_i to the set of representatives R
- 5: **end for**

(شکل ۴): شبیه گرد مشخص کردن مرکز دسته ها

۲-۵-۴-الگوریتم Fuzzy Folding

در این الگوریتم پیشنهادی، نمایندگان خوش به همان صورتی که در بخش قبل ذکر شد، مشخص می شوند. بعد از مشخص شدن نماینده ها، خوش ها در اطراف هر نماینده خوش با استفاده درجه عضویت فازی شکل می گیرند. یعنی هر تصویر در L به خوش ای نسبت داده می شود که درجه عضویت بیشتری داشته باشد. در این روش یک درجه عضویت کلی پیشنهاد شده است که برای محاسبه آن، ابتدا درجه عضویت هر تصویر بر طبق هریک از ویژگی های استخراج شده (u_s) و بر طبق تمامی ویژگی های استخراج شده (u_d) محاسبه می شود و سپس درجه عضویت کلی (u_{ij}) بر اساس درجه عضویت های ویژگی ها شکل می گیرد. اگر $m \in [1, \infty)$ میزان فازی بودن باشد، درجه عضویت طبق روابط ۷ و ۸ محاسبه می شود.

$$u_{ij} = \left(\sum_{s=1}^f w_s u_s(i, j) + u_d(i, j) \right) / 2 \quad (7)$$

$$u_s(i, j) = \frac{(d_s(i, j))^{-2/(m-1)}}{\sum_{l=1}^K (d_s(l, j))^{-2/(m-1)}}, \quad (8)$$

$$u_d(i, j) = \frac{(d_{ij})^{-2/(m-1)}}{\sum_{l=1}^K (d_{lj})^{-2/(m-1)}}, \quad (8)$$

for $s = 1, \dots, f$, $i, j = 1, \dots, N$ and $j \in R$

که در روابط فوق، f نشان دهنده تعداد ویژگی ها و K تعداد نماینده های انتخاب شده در مرحله قبل است، یعنی همان تعداد خوش ها. $d_s(i, j)$ فاصله بین تصویر i و j بر طبق تمامی ویژگی ها طبق معادله ۱ است. w_s وزن نرمال شده مناسب با هر ویژگی است که اگر برای هر ویژگی وزنی در نظر گرفته نشود، مقدار تمامی وزن ها $1/f$ قرار داده می شود.

پس از محاسبه درجه عضویت کلی هر تصویر تا نماینده ها، تصویر به خوش ای نسبت داده می شود که این مقدار برای نماینده آن حداکثر باشد یعنی:

$$j = \operatorname{argmax}_{1 \leq j \leq K} (u_{ij}) \quad (9)$$

خوش ها شکل می گیرند. در اینجا الگوریتم خوش بندی پیشنهادی Fuzzy Folding معرفی می شود که تعمیمی بر الگوریتم (van Leuken, 2009) است و طی این دو مرحله خوش بندی را انجام می دهد. در ادامه ابتدا روش های مختلف مشخص کردن مرکز دسته ها بیان می شود و سپس الگوریتم پیشنهادی Fuzzy Folding تشریح می گردد.

۴-۵-۱- مشخص کردن مرکز دسته ها

برای مشخص کردن مراکز، مانند روش انتخاب نماینده در الگوریتم (RS1) Folding عمل می شود. تصویر اول رتبه بندی یعنی L همیشه به عنوان نماینده انتخاب می شود. در هنگام پیمودن فهرست مرتب شده به سمت پایین، هر تصویر با مجموعه ای از نماینده ها که پیش از این انتخاب شده اند مقایسه می شود. وقتی که یک تصویر مثل i به قدر کافی نسبت به همه نمایندگان انتخاب شده در R بی شbahت باشد، به R اضافه می شود، یعنی:

$$\forall j \in R \quad d_{ij} > \varepsilon \quad (4)$$

می توان مراکز دسته ها را مبتنی بر تصویر میانگین مشخص کرد. در این روش (RS2) مانند روش پایه عمل می شود با این تفاوت که تصویر میانگین تصویری در نظر گرفته می شود که ویژگی های آن میانگین ویژگی های تمامی تصاویر است، یعنی:

$$x_avg_s = \sum_{i=1}^N x_{is}, \quad s = 1, \dots, f \quad (5)$$

که x_{is} نشان دهنده s امین ویژگی تصویر i است.

در این مقاله روش «مشخص کردن مراکز دسته کاهشی مبتنی بر تصویر میانگین» برای تعیین مراکز پیشنهاد شده است. در این روش (RS3) همانند روش مشخص کردن مرکز دسته مبتنی بر تصویر میانگین عمل می شود و علاوه بر آن به این موضوع نیز توجه شده است که تصاویر در فهرست مرتب شده به گونه ای قرار گرفته اند که نتایج مرتبط تر به طور معمول در اوایل نتایج جستجو قرار دارند و هرچه که به انتهای فهرست برویم از این ارتباط بیشتر کاسته می شود. بدین منظور ε از ابتدا تا انتهای یکسان نیست و با پیمودن فهرست به سمت پایین مقدار آن بزرگتر می شود تا از انتهای فهرست نماینده های کمتری انتخاب شود. اگر c یک مقدار ثابت از پیش تعیین شده باشد، این تغییر مقدار به صورت رابطه ۶ قابل بیان است.

$$\varepsilon_{new} = \varepsilon_{old} + c \varepsilon_{old} \quad (6)$$

الگوریتم مشخص کردن مرکز دسته ها در (شکل ۴) نشان داده شده است.

سال ۱۳۹۰ شماره ۲ پیاپی ۱۶

مراکز دسته‌ها طبق روش مطرح شده در بخش ۱-۵-۴ انتخاب می‌شوند و طبق مکان قرار گرفتن این مراکز در درخت، برش به کوههای انجام می‌شود که جزئی ترین دسته-بندی ممکن تولید شود. از برگ‌ها که شامل تمامی تصاویر است شروع کرده و طی ادغام نزدیک ترین زیردرخت‌ها، به‌گونه‌ای در درخت بالا می‌رود که دو نماینده مختلف با هم در یک خوش‌قرار نگیرند. بدین منظور پیمایش از برگ‌ها به صورت سطحی به سمت گره ریشه انجام می‌شود و اگر برگی با برگی که مرکز یکی از خوش‌های است، ادغام شد، خوش‌های این برگ مشخص شده و برابر با خوش‌مرکز مذکور می‌گردند. در سطوح بعدی، خوش‌های زیردرخت قبل از ادغام باشند و یا فقط خوش‌یکی از زیردرخت‌ها مشخص شده باشد، دو زیردرخت با هم ادغام می‌شوند و خوش‌آن نیز تعیین می‌گردد، این امر در (شکل ۶ الف) مشخص شده است. ولی اگر خوش‌های دو زیردرخت نامشخص باشد، تعیین خوش‌به سطوح بعد ارجاع داده می‌شود. اگر خوش‌های دو زیردرخت مشخص و متفاوت باشد، این دو زیردرخت قابل ادغام نیستند و درخت در این قسمت برش خورده و این دو خوش‌های نیز بیش از این قابل گسترش نیستند و این روال تا رسیده درخت ادامه پیدا می‌کند.

یکی از مواردی که ممکن است در پیمایش درخت مشکل ایجاد کند، زمانی است که خوشة یک برگ یا زیردرخت تعیین نشده باشد و در گام بعدی باید با قسمتی از درخت ادغام شود که قبل از آن برش خورده است؛ به عنوان مثال زمانی که باید با دو زیردرخت که قابل ادغام نبوده و هر کدام خوشة متفاوتی را مشخص می‌کنند، ادغام شود که امر امکان ناپذیر است. برای حل این مشکل این زیردرخت یک خوشة جدید را تشکیل می‌دهد که نماینده آن می‌تواند آن عنصری از خوشه باشد که میانگین فاصله اش تا دیگر اعضای خوشه حداقل باشد (رابطه ۱۰).

$$R'_k = \arg \min_{1 \leq j \leq n_k} \left(\sum_{i=1}^{n_k} d_{ij} / n_k \right), \quad (\dagger\dagger)$$

این مسأله در ش(کل عب) نشان داده شده است که اگر R_1 و R_2 مراکز خوش باشند، دو خوشة C_1 و C_2 تشکیل شده و ادغام متوقف می شود. زیردرخت بعدی که خوشاهش نامعین است قابل ادغام با آن ها نیست و درنتیجه خوشة C_3 حدد تشکیلا می گردد.

الگوریتم شرح داده شده در (شکل ۷) نشان داده شده است.

سال ۱۳۹۰ شماره ۲ پیاپی ۱۶

اگر تصویر j ، امین نماینده در R باشد، C_k خوشة این تصویر است و مرکز آن هم R_k میباشد. مراحل الگوریتم در (شکل ۵) نشان داده شده است.

Algorithm Fuzzy Folding

Input: Ranked list L of I and distance matrix m_d

Output: Clustering C

- ```

1: R Select by Representatives Selection
2: for Each image $L_i \notin R$ do
3: Find representative R_k that L_i has the highest
 membership to
4: Assign L_i to the cluster R_k
5: end for

```

(شكل ٥): شبيه كد الگوريتم Fuzzy Folding

#### ۴- رویکرد دوم خوشبندی پیشنهادی

این رویکرد کلی بر مبنای درخت های سلسله مرتبی می باشد که دارای سه مرحله کلی مشخص کردن مرکز دسته ها، ساخت درخت سلسله مرتبی و برش درخت بر اساس مرکز دسته است. در ادامه الگوریتم پیشنهادی Folding Tree شرح داده می شود.

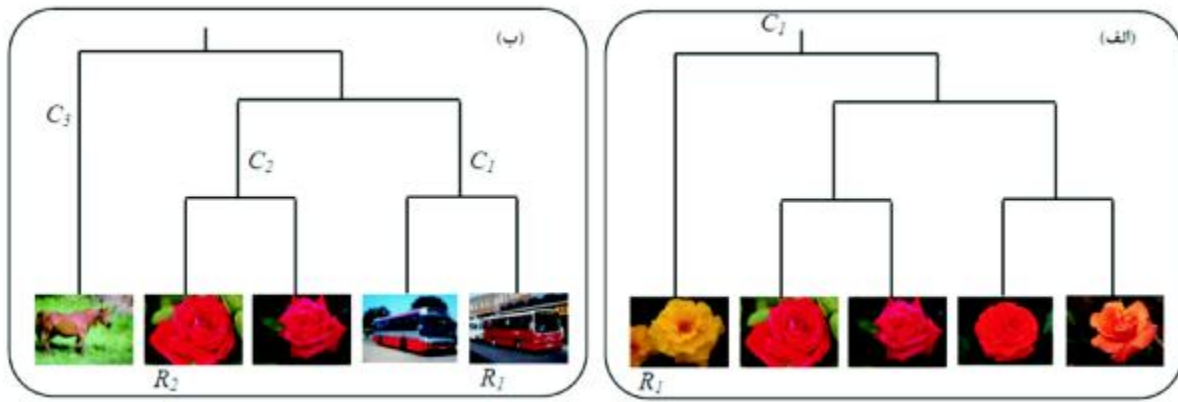
## ٤-٦-١- الگوریتم Folding Tree

الگوریتم پیشنهادی Folding Tree بر پایه خوشبندی سلسله مراتبی شکل می‌گیرد. خوشبندی سلسله مراتبی به طور متوالی با ادغام خوشبدهای کوچک‌تر در خوشبدهای بزرگ‌تر و یا با تقسیم خوشبدهای بزرگ‌تر، پیش می‌رود. نتیجه الگوریتم یک درخت از خوشبدهاست، که نمودار درختی<sup>۱</sup> نامیده می‌شود؛ که این نمودار ارتباط خوشبدها را با هم نشان می‌دهد. با قطع کردن نمودار درختی در یک سطح دلخواه، خوشبندی مورد نظر بدست می‌آید، Halkidi (2001).

یکی از مسائل مطرح در خوشبندی سلسله‌مراتبی، مشخص کردن تعداد مناسب خوشه‌هایست. به طور عمومی برای تعیین این تعداد از تحلیل آماری دسته‌های تولید شده و فضای بین آن‌ها استفاده می‌شود (Milligan, 1985; Salvador, 2004; Boberg, 1993).

در فرآیند خوشبندی در الگوریتم Folding Tree ابتدا درخت خوشبندی براساس یکی از روش‌های خوشبندی سلسله‌مراتبی ساخته می‌شود. پس از آن باید درخت طی یک رووال مناسب برش زده شود. بدین منظور

## <sup>1</sup> - Dendrogram



(شکل ۶): (الف) ادغام زیردرختها و شکل‌گیری خوش، (ب) شکل‌گیری خوشة جدید

#### Algorithm Folding Tree

*Input:* Ranked list  $L$  of  $I$  and distance matrix  $m_d$

*Output:* Clustering  $C$

- 1:  $R$  Select by Representatives Selection
- 2: Construct Hierarchical Tree  $T$
- 3: **for** Each  $R_i$ , Assign  $R_i$  to the cluster of  $R_i$ , **end for**
- 4: **for** Each two closest Subtree  $T_i, T_j$  do
  - 5: Merge  $T_i, T_j$  to  $T_k$
  - 6: **if**  $T_i$  was cut
    - 7: **if**  $T_j$  was assigned to a cluster **then**  $T_j, T_k$  are cut
    - 8: **else**  $T_j$  was assigned to a new cluster with new representative,  $T_j, T_k$  are cut
  - 9: **else if**  $T_i, T_j$  were assigned to clusters **then**  $T_i, T_j, T_k$  are cut
  - 10: **else if**  $T_i$  is assigned to a cluster and  $T_j$  is not assigned to a cluster **then**
    - 11: Assign  $T_j, T_k$  to the cluster of  $T_i$
  - 12: **do** lines 6-11 for  $T_j$
- 13: **end for**

(شکل ۷): شبیه کد الگوریتم Folding Tree

#### ۱-۵- پایگاه داده تصاویر

برای ایجاد پایگاه داده مورد استفاده جهت آزمون روش‌های پیشنهادی از رویکرد مطرح در ( Liu, 2004; van Leuken, 2009; van Zwol, 2008; Wang, 2010; Cai, 2004; Jing, 2008; Tian, 2010 ) استفاده شده است. مطابق با این رویکرد تصاویر به دست آمده از موتوهای جستجوی مختلف، مبنای تشکیل این پایگاه داده را شکل می‌دهد.

#### ۵- آزمایش‌ها و نتایج

در این بخش، ابتدا پایگاه داده تصویری مورد استفاده معرفی شده است و سپس به معیارهای ارزیابی برای اندازه‌گیری کارایی رویکردها و الگوریتم‌های پیشنهادی پرداخته می‌شود. در انتها روش آزمون و نتایج حاصل از آنها بیان خواهد شد.

فصل پنجم  
دانشگاه علوم پزشکی

نسبی<sup>۳</sup> (Gan, 2007). در راهبرد معیارهای خارجی، نتایج الگوریتم خوشه‌بندی بر مبنای یک دسته‌بندی از پیش معین شده ارزیابی می‌شود، که این دسته‌بندی بر مجموعه داده اعمال شده و ساختار ذاتی این مجموعه را باز تاب می‌دهد. در حقیقت هدف این معیار ارزیابی دو خوشه‌بندی متفاوت با هم است. در اینجا دو معیار خارجی- Variation of information (Fowlkes, 1983) و Mallows van Leuken, (Meilă, 2007) شرح داده می‌شوند که در (Wang, 2009; 2010) برای مقایسه نتایج حاصل از خوشه‌بندی تصاویر موتورهای جستجو مورد استفاده قرار گرفته‌اند.

(FM)Fowlkes-Mallows و  $C'$  دو خوشه‌بندی باشند، همه جفت تصاویر ممکن بر مبنای  $I$  به چهار دسته قابل تقسیم‌اند:  $N_{11}$ : هر دو تصویر در هر دو خوشه‌بندی  $C$  و  $C'$ ، در یک خوشه هستند.  $N_{00}$ : هر دو تصویر در هر دو خوشه‌بندی  $C$  و  $C'$ ، در خوشه‌های متفاوت قرار دارند.  $N_{10}$ : دو تصویر در خوشه‌بندی  $C$  در یک خوشه هستند اما در خوشه‌بندی  $C'$  در خوشه‌های متفاوت قرار دارند.  $N_{01}$ : دو تصویر در خوشه‌بندی  $C'$  در یک خوشه هستند اما در خوشه‌بندی  $C$  در خوشه‌های متفاوت قرار دارند.

مقدار بالای شاخص FM، نشان‌دهنده شباهت دو خوشه است و بر اساس دو معیار نامتقارن ذیل شکل می‌گیرد.

$$W_I(C, C') = \frac{N_{11}}{N_{11} + N_{01}} \quad (11)$$

$$W_{II}(C, C') = \frac{N_{11}}{N_{11} + N_{10}}$$

این شاخص میانگین هندسی این دو معیار است که آن را معیاری متقارن می‌سازد.

$$FM(C, C') = \sqrt{W_I(C, C')W_{II}(C, C')} \quad (12)$$

(VI)Variation of information: این معیار مقایسه،

بر مبنای ساختاری است که «جدول هم‌رخدادی<sup>۴</sup>» یا «ماتریس آشفتگی<sup>۵</sup>» نامیده می‌شود. «جدول هم‌رخدادی» دو خوشه‌بندی، یک ماتریس  $K \times K$  است که  $k$  امین مؤلفه، تعداد نقاط مشترک در خوشه‌های  $C_k$  از  $C$  و  $C'_k$  از  $C'$  است. این معیار مقایسه خوشه‌بندی، معیار تغییرپذیری اطلاعات<sup>۶</sup> است و بر مبنای مفهوم آنتروپی شرطی

پایگاه داده تصاویر این پژوهش، شامل تصاویری است که با جستجوی ۶۵ عنوان کلمه «پرس‌وجو» در موتورهای جستجوی تصویر Google و Yahoo جمع‌آوری شده‌اند. برای هر عنوان حداقل هزار تصویر اول دانلود شده‌اند. برخی تصاویر ممکن است به علت فیلترینگ و یا نبود تصویر اصلی بر روی سرور مورد نظر غیر قابل دانلود باشند، درنتیجه تعداد تصاویر هر عنوان ممکن است کمتر از تعداد ذکر شده باشد. موتور جستجوی Yahoo در اکثر موارد ۴۸ صفحه نمایش می‌دهد، که این تعداد صفحات ممکن است با توجه به کلمه پرس‌وجو کمتر باشد. حداقل تعداد صفحات تصویری که موتور جستجوی Google نشان می‌دهد پنجاه است که در اکثر موارد تعداد این صفحات کمتر است. در موتور جستجوی Google تعداد تصاویر نمایش داده شده در هر صفحه بیست عدد است و در موتور جستجوی Yahoo این تعداد ۲۸ می‌باشد (در صفحه ۴۸ تعداد تصاویر ۲۰ عدد است).

سعی شده است که کلمات پرس‌وجویی انتخاب شوند که بیشتر مورد جستجو قرار می‌گیرند و عناوین متفاوت و متنوعی را شامل شوند. کلمات جستجو شده هم شامل کلمات ذاتاً مبهم است چه «ابهام مفهوم کلمه» و چه «ابهام مختص نوع» و هم شامل کلمات غیرمبهم. این امر سبب می‌شود که کارایی سیستم در هر دو حالت مورد ارزیابی قرار گیرد.

در (جدول ۱) برخی از کلمات جستجو شده به همراه نمونه‌هایی از تصاویر آن آورده شده‌اند. به بعضی از مشخصات مربوط به این کلمات پرس‌وجو نیز اشاره شده است، مانند معانی و بعضی از انواع معنایی و بصری، موتور جستجوی مورد استفاده و تعداد دسته‌های تعیین شده توسط کاربر در مرحله ایجاد حقیقت پایه.

## ۲-۵- معیارهای ارزیابی

در خوشه‌بندی یک مجموعه داده، هیچ کلاس از پیش تعیین شده‌ای و هیچ نمونه‌ای که بتواند اعتبار خوشه‌های شکل گرفته توسط الگوریتم‌های خوشه‌بندی را نشان دهد، وجود ندارد. بنابراین برای مقایسه الگوریتم‌های مختلف خوشه‌بندی، وجود چند معیار اعتبارسنجی لازم است. در کل سه معیار بنیادین برای بررسی صحت اعتبار خوشه وجود دارد: معیارهای خارجی<sup>۱</sup>، معیارهای داخلی<sup>۲</sup>، معیارهای

<sup>3</sup>-Relative criteria

<sup>4</sup>- Contingency table

<sup>5</sup>- Confusion matrix

<sup>6</sup>- Variation of information

سال ۱۳۹۰ شماره ۲ پیاپی ۱۶

<sup>1</sup>-External criteria

<sup>2</sup>-Internal criteria

شده و نتایج آزمون روش‌های پیشنهادی پرداخته می‌شود. همچنین روش‌ها پیشنهادی با خود و دیگر روش‌ها مقایسه می‌شوند.

### ۵-۳-۵- ایجاد حقیقت پایه<sup>۴</sup>

برای اینکه بتوان نتایج و کارایی سیستم را مورد ارزیابی قرار داد، باید یک «حقیقت پایه» داشت یعنی یک دسته‌بندی از پیش تعیین شده که بتوان آن دسته‌بندی را با نتایج خوشه‌بندی سیستم مقایسه کرد. بدین منظور از شش کاربر خواسته شد که این ۶۵ عنوان را بر مبنای ویژگی‌های بصری گروه‌بندی کنند. این شش کاربر به صورت مستقل و بدون دانستن و یا دیدن جواب سیستم، ارزشیابی خود را انجام دادند. فرآیند دسته‌بندی توسط کاربر به صورت ذیل انجام گرفت:

۱. مشاهده تمامی تصاویر: ابتدا کل پنجاه تصویر اول به کاربر نشان داده می‌شود و کاربر می‌تواند تمامی تصاویر را به سرعت بررسی و مرور کند. این امر به کاربر کمک می‌کند تا درک و تجسمی کلی از این تصاویر به دست آورده و ایده چگونگی دسته‌بندی و تعداد دسته‌ها در ذهن او نقش بنده.

۲. شکل‌دهی دسته‌ها: در این مرحله کاربر به تعداد دسته‌های مورد نظر پوشه جدید ساخته و با قرار دادن تصاویر در پوشه مربوطه گروه‌بندی تصاویر انجام می‌شود. در طول این پروسه، ممکن است کاربر به تصویری برسد که به نظر او به هیچ یک از دسته‌های ایجاد شده متعلق نیست؛ در این حالت کاربر می‌تواند گروه جدیدی به گروه‌های موجود بیافزايد و همچنین تصاویر نامرتبه در یک پوشه قرار می‌گیرند.

۳. مشخص کردن نماینده دسته: پس از شکل‌گیری کل دسته‌ها از کاربر خواسته می‌شود که در هر دسته یکی از تصاویر را به عنوان نماینده دسته جاری انتخاب کند. بیست تصویر اول نتیجه شده از جستجوی کلمه "mouse" و حقیقت پایه ایجاد شده توسط دسته‌بندی کاربر، در (شکل ۸) نشان داده شده است. همچنین در ستون آخر (جدول ۱)، تعداد دسته‌های تعیین شده توسط کاربر برای بعضی از کلمات جستجو شده آورده شده است.

می‌باشد(Fowlkes, 1983). اگر  $C$  یک خوشه‌بندی باشد، احتمال اینکه یک تصویر که به طور تصادفی انتخاب شده متعلق به خوشه  $C_k$  با اندازه  $n_k$  باشد، برابر است با

$$P(k) = \frac{n_k}{N} \quad (13)$$

این رابطه متغیری تصادفی را تعریف می‌کند که  $K$  مقدار می‌گیرد. «عدم قطعیت» خوشه‌ای که تصویر به آن متعلق است برابر با آنتروپی متغیر تصادفی رابطه ۱۴ است.

$$H(C) = -\sum_{k=1}^K P(k) \log P(k) \quad (14)$$

اطلاعات متقابل<sup>۳</sup>  $I(C, C')$ ، یعنی اطلاعاتی که یک خوشه‌بندی درمورد یک خوشه‌بندی دیگر دارد، به طور مشابه قابل تعریف است. ابتدا، احتمال اینکه یک تصویر که به طور تصادفی انتخاب شده متعلق به خوشه  $C_k$  در خوشه‌بندی  $C$  و متعلق به خوشه  $C'_{k'}$  در خوشه‌بندی  $C'$  باشد، برابر است با

$$P(k, k') = \frac{|C_k \cap C'_{k'}|}{N} \quad (15)$$

سپس، اطلاعات متقابل  $I(C, C')$  با مجموع آنتروپی‌های تمامی جفت خوشه‌های ممکن تعریف می‌شود.

$$I(C, C') = \sum_{k=1}^K \sum_{k'=1}^{K'} P(k, k') \log \frac{P(k, k')}{P(k)P'(k')} \quad (16)$$

ضریب اطلاعات متقابل، می‌تواند به عنوان کاهش‌دهنده عدم قطعیت از یک خوشه‌بندی به خوشه‌بندی دیگر در نظر گرفته شود. تغییرپذیری اطلاعات به صورت رابطه ذیل نوشته می‌شود.

$$VI(C, C') = [H(C) - I(C, C')] + [H(C') - I(C', C)] \quad (17)$$

تغییرپذیری اطلاعات بر روی ارتباط بین یک نقطه<sup>۳</sup> و خوشه آن متمرکز می‌شود. این معیار، تفاوت در این ارتباط را که بر روی تمامی نقاط میانگین گرفته شده است، بین دو خوشه‌بندی اندازه می‌گیرد. اگر تغییرپذیری اطلاعات کم باشد، نشان‌دهنده شباهت دو خوشه‌بندی است.

### ۳-۵- آزمون‌ها

برای ارزیابی کارایی رویکردها و الگوریتم‌های پیشنهادی همانند روش مطرح شده در (van Leuken, 2009; Wang, 2010) عمل می‌شود که در این روش ارزیابی با مقایسه نتایج الگوریتم‌ها با نتایج حاصل از دسته‌بندی تصاویر توسط کاربر با استفاده از معیارهای FM و VI انجام می‌گیرد. در این بخش به چگونگی ساخت این دسته‌بندی از پیش تعیین

<sup>1</sup> - Uncertainty

<sup>2</sup> - Mutual information

<sup>3</sup> - Point

(جدول ۱): بعضی از کلمات جستجو شده به همراه انواع بصری و معنایی آنها

| ردیف | کلمه پرس- وجود | تصاویر نمونه | معانی       | بعضی از انواع معنایی و بصری                                   | موتور جستجو | تعداد دسته‌های تعیین شده توسط کاربر |
|------|----------------|--------------|-------------|---------------------------------------------------------------|-------------|-------------------------------------|
| ۱    | apple          |              | سیب         | میوه سیب، آرم شرکت، محصولات منتنوع شرکت                       | Google      | ۱۰                                  |
| ۲    | beetle         |              | سوسک        | انواع سوسک، نوعی ماشین، شخصیت کارتونی beetle man              | Yahoo!      | ۱۱                                  |
| ۳    | glasses        |              | عینک        | انواع عینک، لیوان‌ها و جام‌ها                                 | Yahoo!      | ۹                                   |
| ۴    | Honda          |              | هوندا       | انواع اتومبیل و موتور هوندا و آرم شرکت                        | Google      | ۱۰                                  |
| ۵    | jaguar         |              | پلنگ حالدار | انواع پلنگ، اتومبیل جگوار و داخل و اجزای آن و آرم شرکت        | Google      | ۶                                   |
| ۶    | Mercury        |              | جیوه، سیاره | سیاره عطارد، نوعی اتومبیل، نوعی اسکیت، الهه یونانی عطارد، تیر | Google      | ۷                                   |
| ۷    | mouse          |              | موس         | انواع موس واقعی و کارتونی، موشواره ریلایه                     | Google      | ۸                                   |
| ۸    | panda          |              | پاندا       | انواع پاندای واقعی و کارتونی، نوعی اتومبیل                    | Yahoo!      | ۵                                   |
| ۹    | polo           |              | چوگان       | ورزش چوگان، نوعی اتومبیل، نوعی تیشرت، آرم                     | Google      | ۵                                   |
| ۱۰   | swan           |              | قو          | انواع قوی سفید و سیاه و نقاشی آن، نوعی کفشهای                 | Yahoo!      | ۱۲                                  |



(شکل ۸): ۲۰ تصویر اول نتیجه شده از جستجوی کلمه **mouse** و حقیقت پایه ایجاد شده توسط دسته‌بندی کاربر

Bold مشخص شده‌اند. این نتایج به صورت نمودار در (اشکال ۹ الف و ب) ترسیم شده‌اند که میزان تأثیر روش انتخاب مراکز و وزن دهی را بر روی F نشان می‌دهد. همان‌گونه که در (جدول ۲) و (اشکال ۹ الف و ب) مشخص است دو روش انتخاب مرکز RS2 و RS3 هم با اعمال وزن دهی و هم بدون اعمال آن، عملکرد بهتری داشته و نشان‌دهنده کارا بودن این دو روش پیشنهادی در انتخاب مرکز می‌باشد.

(جدول ۲): نتایج الگوریتم **Folding** براساس روش انتخاب مرکز  
دسته و وزن دهی ویژگی

| weight         | Representative selection | Algorithm | FM     | VI     | Relative increase of FM | Relative reduction of VI |
|----------------|--------------------------|-----------|--------|--------|-------------------------|--------------------------|
| without weight | RS1                      | F1        | 0.3463 | 3.0184 | -                       | -                        |
|                | RS2                      | F2        | 0.3622 | 2.9471 | 4.604%                  | 2.362%                   |
|                | RS3                      | F4        | 0.3656 | 2.9385 | 5.571%                  | 2.646%                   |
| with weight    | RS1                      | W-F1      | 0.3460 | 3.0179 | -                       | -                        |
|                | RS2                      | W-F2      | 0.3632 | 2.9447 | 4.893%                  | 2.444%                   |
|                | RS3                      | W-F4      | 0.3674 | 2.9299 | 6.115%                  | 2.933%                   |

### ● بررسی نتایج الگوریتم پیشنهادی **Folding**

در این بخش نتایج سیستم با استفاده از الگوریتم پیشنهادی **Fuzzy Folding** (FF) بررسی می‌شوند. نتایج حاصل از این الگوریتم با روش‌های مختلف تعیین مرکز خوشها و همچنین اعمال وزن دهی بر روی آن‌ها در مقایسه با الگوریتم **Folding** اولیه در (جدول ۳) نشان داده شده است. همان‌گونه که مشخص است الگوریتم‌های FF علاوه‌بر اینکه نسبت به الگوریتم **Folding** اولیه بهبود داشته‌اند، در هر دو معیار FM و VI نسبت به نسخه‌های غیرفازی خود، عملکرد بهتری داشته‌اند. این مطلب در مورد نسخه‌های وزن دار فازی در مقایسه با نسخه‌های FF2 و وزن دار غیرفازی نیز صادق است. در این نتایج FF3 به مانند نسخه‌های غیرفازی خود عملکرد خوبی از خود نشان داده‌اند. (اشکال ۹ ج و د) این نتایج را نمایش می‌دهد که نمایش‌گر برتری FF3 و WFF3 بر دیگر روش‌های فازی پیشنهادی در هر دو معیار FM و VI می‌باشد.

### ● بررسی نتایج الگوریتم پیشنهادی **Tree**

نتایج حاصل از استفاده از الگوریتم **Tree** (FT) برای خوشبندی تصاویر در (جدول ۴) عنوان شده است. این نتایج با روش‌های مختلف تعیین مرکز خوشها و همچنین اعمال وزن دهی بر روی آن‌ها در مقایسه با الگوریتم F1 کسب شده‌اند. این نتایج به صورت نمودار میله‌ای نیز در (اشکال ۹ و و) نشان داده شده است. واضح است که الگوریتم FT2 و FT3 علاوه بر اینکه نسبت به الگوریتم **Folding** اولیه بهبود داشته‌اند، در هر دو معیار FM و VI نسبت به نسخه‌های اولیه و حتی فازی خود،

### ۵-۳-۲- نتایج آزمون

پس از مشخص شدن «حقیقت پایه»، نتایج بر مبنای **Mallows** (Fowlkes-Mallows) و **Variation of Information** (VI) مقایسه می‌شوند. افزایش نسبی امتیاز FM و کاهش نسبی امتیاز VI نیز محاسبه می‌گردد. افزایش نسبی روش *i* در مقایسه با روش *j* برای FM به صورت رابطه ۱۸ قابل اندازه‌گیری است.

$$\text{Relative increase of FM} = \frac{FM_i - FM_j}{FM_j} \quad (18)$$

و کاهش نسبی روش *i* در مقایسه با روش *j* برای VI برابر است با

$$\text{Relative reduction of VI} = \frac{VI_j - VI_i}{VI_j} \quad (19)$$

در تمامی مقایسه‌ها بر مبنای این دو پارامتر، نتایج روش جاری با الگوریتم **Folding** اوایله انجام شده است. نتایج حاصل از اعمال روش‌ها بر روی پنجاه تصویر اول برای تمامی کلمات پرس‌وجو و بر پایه حقیقت پایه ایجاد شده می‌باشند، که این مقایسه کمی همانند روش ذکر شده در (van Leuken, 2009; Wang, 2010) می‌باشد.

### ۵-۳-۱- بررسی تحلیلی تأثیر روش انتخاب مرکز دسته و وزن دهی ویژگی‌ها بر نتایج

در اینجا تأثیر روش انتخاب مرکز دسته و وزن دهی بر نتایج الگوریتم‌های مختلف به تفکیک بیان می‌گردد.

#### ● بررسی نتایج الگوریتم **Folding**

در این بخش الگوریتم‌های مختلف **Folding** (F) با یکدیگر مقایسه می‌شوند. در (جدول ۲) مقایسه الگوریتم F با نحوه متفاوت مشخص کردن مرکز دسته‌ها و اعمال وزن دهی آورده شده است. همان‌طور که ذکر شد، در F1 تصویر میانگین، تصویری در نظر گرفته می‌شود که کوچکترین متوسط فاصله تا تمامی دیگر تصاویر دارد. F2 از روش دوم تعیین مرکز (RS2) بهره می‌برد یعنی تصویر میانگین، تصویری است که ویژگی‌های آن میانگین ویژگی‌های نمایی تصاویر است. F3 روش سوم را به کار می‌برد؛ یعنی روش مشخص کردن مرکز دسته کاهشی مبتنی بر تصویر میانگین. همان‌گونه که در این جدول مشخص است F3 از عملکرد بهتری برخوردار است که به دلیل اهمیت بیشتر به تصاویر با اولویت بالاتر می‌باشد. در (جدول ۲) نتایج اعمال وزن دهی نیز نشان داده شده است که این وزن دهی باعث بهبود بیشتر F2 و F3 در هر دو معیار ارزیابی شده است، که میزان بهبود F1 با معیارهای نسبی در مقایسه با الگوریتم مشخص است. نتایج بهترین روش در این جدول،

سال ۱۳۹۰ شماره ۲ پیاپی ۱۶





#### جدول (۴): نتایج الگوریتم Folding Tree براساس روش انتخاب مرکز دسته و وزن دهنده ویژگی

| weight         | Representative selection | Algorithm | FM            | VI            | Relative increase of FM | Relative reduction of VI |
|----------------|--------------------------|-----------|---------------|---------------|-------------------------|--------------------------|
| without weight | RS1                      | FT1       | 0.356576      | 2.9903        | 2.967%                  | 0.931%                   |
|                | RS2                      | FT2       | 0.3702        | 2.9302        | 6.918%                  | 2.922%                   |
|                | RS3                      | FT4       | 0.3717        | 2.9335        | 7.351%                  | 3.098%                   |
| with weight    | RS1                      | W-FT1     | 0.356584      | 2.9903        | 2.970%                  | 0.931%                   |
|                | RS2                      | W-FT2     | 0.3710        | 2.9249        | 7.351%                  | 2.815%                   |
|                | RS3                      | W-FT4     | <b>0.3730</b> | <b>2.9227</b> | 7.734%                  | 3.171%                   |

جدول (۵): مقایسه الگوریتم‌های RE, MM, F, Fuzzy با الگوریتم‌های پیشنهادی

| Algorithm           | weight         | Representative selection | FM            | VI            |
|---------------------|----------------|--------------------------|---------------|---------------|
| Folding             | without weight | RS1                      | 0.3463        | 3.0184        |
|                     |                | RS2                      | 0.3622        | 2.9471        |
|                     |                | RS3                      | 0.3656        | 2.9385        |
|                     | with weight    | RS1                      | 0.3460        | 3.0179        |
|                     |                | RS2                      | 0.3632        | 2.9447        |
|                     |                | RS3                      | <b>0.3674</b> | <b>2.9299</b> |
| Fuzzy Folding       | without weight | RS1                      | 0.3493        | 2.9899        |
|                     |                | RS2                      | 0.36515       | 2.9352        |
|                     |                | RS3                      | 0.3672        | 2.9340        |
|                     | with weight    | RS1                      | 0.3491        | 2.9903        |
|                     |                | RS2                      | 0.36523       | 2.9337        |
|                     |                | RS3                      | 0.3683        | 2.9250        |
| Folding Tree        | without weight | RS1                      | 0.356576      | 2.9903        |
|                     |                | RS2                      | 0.3702        | 2.9302        |
|                     |                | RS3                      | 0.3717        | 2.9335        |
|                     | with weight    | RS1                      | 0.356584      | 2.9903        |
|                     |                | RS2                      | 0.3710        | 2.9249        |
|                     |                | RS3                      | <b>0.3730</b> | <b>2.9227</b> |
| Maxmin              | without weight | RS1                      | 0.3243        | 3.0640        |
|                     |                | RS2                      | 0.3334        | 3.0411        |
|                     |                | RS3                      | 0.3361        | 2.9999        |
|                     | with weight    | RS1                      | 0.3272        | 3.0400        |
|                     |                | RS2                      | 0.3419        | 3.0181        |
|                     |                | RS3                      | 0.3345        | 3.0331        |
| Reciprocal Election | without weight | -                        | 0.3346        | 3.1112        |
|                     | with weight    | -                        | 0.3348        | 3.1090        |

#### ۷- مراجع

Ahmad, S., 1991. "VISIT: A neural model of covert attention". Advances in Neural Information Processing Systems, 4:420-427.

Alamdar, F., bahmani, Z., Haratizadeh, S., 2010. "Color Quantization with Clustering By F-PSO-GA". In Proceeding of IEEE International Conference on Intelligent Computing and Intelligent Systems (ICIS), 233-238.

Alamdar, F., Keyvanpour, M. R., 2011. "A New Color Feature Extraction Method Based on QuadHistogram". Procedia Environmental Science, 10(2011):777-783.

Baluja, S., Pomerleau, D.A., 1997. "Expectation-based selective attention dor visual monitoring and control of a robot vehicle". Robotics and Autonomous System, 22(3-4):329-344.

Boberg, J., Salakoski, T., 1993. "General formulation and evaluation of agglomerative clustering methods with metric and non-metric distances". Pattern Recognition, 26(9):1395-1406.

Cai, D., He, X., Li, Z., Ma, W. Y., Wen, J. R., 2004. "Hierarchical clustering of WWW image search results using visual, textual and link information". In Proceeding of ACM multimedia, 952–959.

Deselaers, T., Keysers, D., Ney, H., 2003. "Clustering Visually Similar Images to Improve Image Search

عملکرد بهتری داشته‌اند. این مطلب در مورد نسخه‌های وزن دار این الگوریتم‌ها نیز صحیح می‌باشد.

#### ● مقایسه نتایج الگوریتم و Folding Tree با الگوریتم‌های پیشنهادی

در اینجا نتایج حاصل از الگوریتم‌های پیشنهادی با Maxmin و Reciprocal election (MM) مقایسه می‌گردد. نتایج مربوطه در (جدول ۵) آمده است. این نتایج بر روی پایگاه داده ذکر شده و با اعمال زیرسیستم پیش‌پردازش و استخراج ویژگی پیشنهادی حاصل شده‌اند. در کلیه روش‌ها به جزء RE که مستقل از روش تعیین مراکز است، مراکز با سه روش RS1, RS2, RS3 مشخص شده و مقایسه شده‌اند. برای مقایسه راحت‌تر، نتایج به صورت نمودار در (اشكال ۱۰ الف و ب) آورده شده شده است. نتایج حاکی از آن است که الگوریتم بهترین نتایج را در هر دو معیار دارد. دو مینی الگوریتم از نظر نتایج، الگوریتم FT3 بر طبق معیار FM و الگوریتم WFF3 بر بنای معیار VI می‌باشد. در بین روش‌های F, MM و RE, الگوریتم W-F3 بهترین نتیجه را دارد که این نتایج در جدول به صورت Bold مشخص شده‌اند.

#### ۶- نتیجه‌گیری

در این پژوهش، چالش‌های فراروی کاربر برای جستجوی تصاویر در موتورهای جستجوی تصاویر بیان شد و سعی شد رویکرد و سیستمی ارائه شود که نیاز کاربر را به صورت کاراتری برآورد.

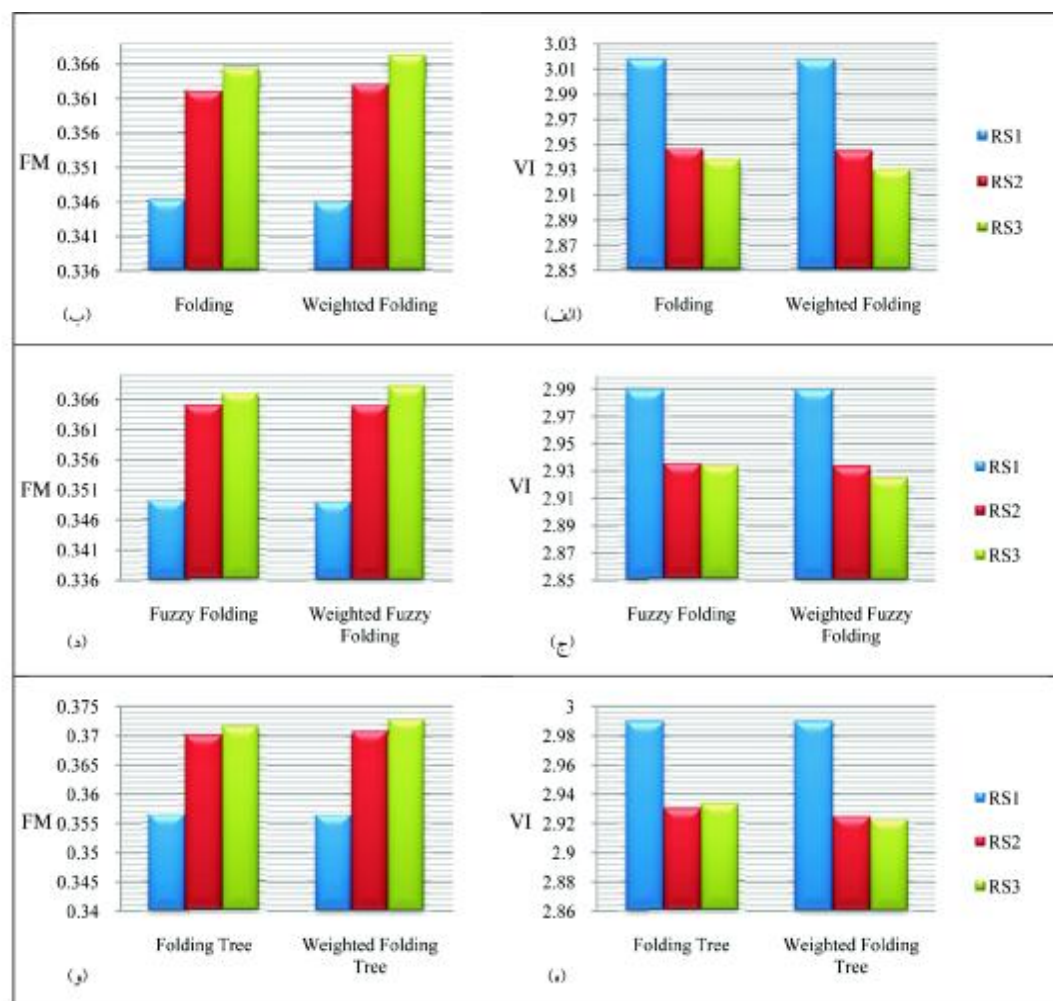
در این پژوهش، چند الگوریتم برای خوشه‌بندی نتایج تصاویر موتورهای جستجو پیشنهاد شد، که تلحیص بصری و متنوع ایجاد شده توسط آن، به کاربر این امکان را می‌دهد که تصاویر را به راحتی مرور کرده و حدود و محتوای کلی تمامی تصاویر بازگشتی را در زمانی کوتاه و تعداد کمی کلیک بدهست آورد. بر اساس ارزیابی‌های انجام شده، رویکرد پیشنهادی باعث بهبود در نتایج خوشه‌بندی تصاویر نتیجه شده از جستجو می‌شود.

#### (جدول ۳): نتایج الگوریتم Fuzzy Folding با روش انتخاب مرکز دسته و وزن دهنده ویژگی

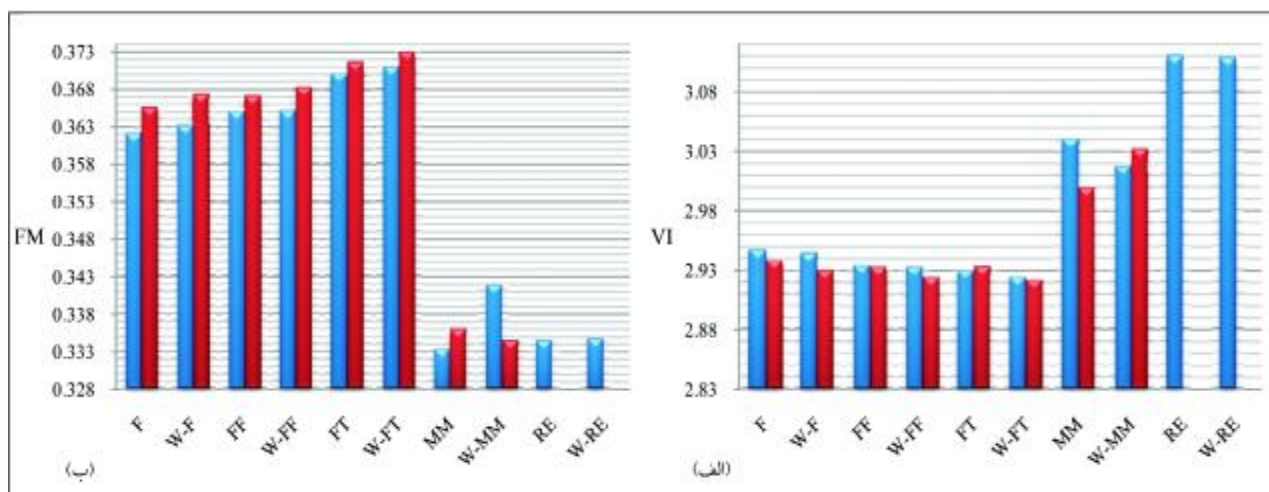
| weight         | Representative selection | Algorithm | FM            | VI            | Relative increase of FM | Relative reduction of VI |
|----------------|--------------------------|-----------|---------------|---------------|-------------------------|--------------------------|
| without weight | RS1                      | FF1       | 0.3493        | 2.9899        | 0.866%                  | 0.944%                   |
|                | RS2                      | FF2       | 0.36515       | 2.9352        | 5.455%                  | 2.759%                   |
|                | RS3                      | FF3       | 0.3672        | 2.9340        | 6.059%                  | 2.797%                   |
| with weight    | RS1                      | W-FF1     | 0.3491        | 2.9903        | 0.809%                  | 0.9310%                  |
|                | RS2                      | W-FF2     | 0.36523       | 2.9337        | 5.480%                  | 2.806%                   |
|                | RS3                      | W-FF3     | <b>0.3683</b> | <b>2.9250</b> | 6.358%                  | 3.096%                   |

- Manjunath, B. S., Ohm, J., Vasudevan V. V., Yamada, A., 2001. "Color and Texture Descriptors". IEEE Transactions on Circuits and Systems for Video Technology, 11(6):703-715.
- Meilă, M., 2007. "Comparing clusterings: an information based distance". Journal of Multivariate Analysis, 98(5) 873-895.
- Milanese, R., Gil S., Pun, T., 1995. "Attentive Mechanism for dynamic and static scene analysis". Optical Engineering, 34(8):2428-2434.
- Milligan, G., Cooper, M., 1985. "An examination of procedures for determining the number of clusters in a data set". Psychometrika, 50(2):159-179.
- Moëllig, P. A., Haugéard, J. E., Pitel, G., 2008. "Image clustering based on a shared nearest neighbors approach for tagged collections". In Proceeding of CIVR, 269-278.
- Niebur, E., Koch, C., 1998. "Computational architectures for attention," R. Parasuraman (Ed.), The attentive brain, Cambridge, MA: MIT Press, 163-186.
- Salvador, S., Chan, P., 2004. "Determining the number of clusters/segments in hierarchical clustering/segmentation algorithms". In Proceeding of 16th IEEE International Conference on Tools with Artificial Intelligence (ICTAI), 576-584.
- Tamura, H., Mori, S., Yamawaki, T., 1978. "Textural features corresponding visual perception". IEEE Trans. Syst. Man Cybern., 8(6):460-473.
- Tian, X., Tao, D., Hua, X. S., Wu, X., 2010. "Active Reranking for Web Image Search". IEEE Transaction on Image Processing, 19(3): 805-820.
- van Leuken, R. H., Garcia, L., Olivares, X., 2009. "Visual Diversification of Image Search Results". In Proceedings of the 18th international conference on World wide web, 341-350.
- van Zwol, R., Murdock, V., Garcia, L., Ramirez, G., 2008. "Diversifying image search with user generated content". In Proceedings of the International ACM Conference on Multimedia Information Retrieval, 67-74.
- Wang, H., Missura, O., Gärtner T., Wrobel, S., 2009. "Context-Based Clustering of Image Search Results". Lecture Notes in Computer Science, 5803:153-160.
- Wang, J., Jia, L., Hua, X. S., 2010. "Interactive browsing via diversified visual summarization for image search results". Multimedia Systems, 17(5): 379-391.
- Wang, X., Wang, Y., Wang, L., 2004. "Improving fuzzy c-means clustering based on feature-weight learning". Pattern Recognition Letters, 25(10):1123-1132.
- Zhang, B., Li, H., Liu, Y., Ji, L., Xi, W., Fan, W., Chen, Z., Ma, W. Y., 2005. "Improving web search results using affinity graph". In Proceedings of the 28th annual international ACM SIGIR conference on Research and development in information retrieval, 504-511.
- Engines". In Proceeding of Informatiktage 2003 der Gesellschaft für Informatik.
- Fergus, R., Fei-Fei, L., Perona, P., Zisserman, A., 2005. "Learning object categories from Google's image search". In Proceeding of Tenth IEEE International Conference on Computer Vision (ICCV), 1816-1823,
- Fowlkes E., Mallows, C., 1983. "A method for comparing two hierarchical clusterings". Journal of the American Statistical Association, 78(383)553-569.
- Gan, G., Ma, Ch., Wu, J., 2007. "Data Clustering Theory, Algorithms, and Applications". ASA-SIAM Series on Statistics and Applied Probability, SIAM, Philadelphia, ASA, Alexandria, VA.
- Gao, B., Liu, T. Y., Qin, T., Zheng, X., Cheng, Q., Ma, W. Y., 2005. "Web image clustering by consistent utilization of visual features and surrounding texts". In Proceeding of ACM multimedia, 112-121.
- Halkidi, M., Baistikis, Y., Vazirgiannis, M., 2001. "On clustering validation techniques". Journal of Intelligent Information Systems, 17(2-3):107-145.
- Itti, L., Koch, C., Niebur, E., 1998. "A Model of Saliency-Based Visual Attention for Rapid Scene Analysis". IEEE Trans. on Pattern Analysis and Machine Intelligence, 20(11):1254-1259.
- Jia, Y., Wang, J., Zhang, C., Hua, X. S., 2008. "Finding image exemplars using fast sparse affinity propagation". In Proceeding of ACM multimedia, 639-642.
- Jing, F., Wang, C., Yao, Y., Deng, K., Zhang, L., Ma, W., 2006. "IGroup: A Web Image Search Engine with Semantic Clustering of Search Results". In Proceedings of the 14th annual ACM international conference on Multimedia, 497-498.
- Jing, Y., Baluja, S., 2008. "VisualRank: Applying PageRank to Large-Scale Image Search". IEEE Transaction on Pattern Analysis and Machine Intelligence, 30(11): 1877-1890.
- Lamming, D., 1991. "Contrast Sensitivity". Chapter 5. In: Cronly-Dillon, J., Vision and Visual Dysfunction, Vol. 5, London: Macmillan Press.
- Li, Z., Xu, G., Li, M., Ma, W. Yi., Zhang, H. J., 2005. "Grouping WWW Image Search Results by Novel Inhomogeneous Clustering Method". In Proceeding of the 11th International Multimedia Modeling Conference, 255-261.
- Liu, H., Xie, X., Tang, X., Li, Z., Ma, W. Y., 2004. "Effective browsing of web image search results". In Proceeding of Multimedia information retrieval, 84-90.
- Ma, Y., Zhang, H., 2003. "Contrast-based image attention analysis by using fuzzy growing". In Proceedings of the eleventh ACM international conference on Multimedia, 374-381.





(شکل ۹): (الف، ب) نتایج الگوریتم‌های F و W-F بر مبنای معیار VI و FF و W-FF بر مبنای معیار VI و FM. (ج، د) نتایج الگوریتم‌های FT و W-FT بر مبنای معیار VI و FM. (ه) نتایج الگوریتم‌های FT و W-FT و W-F بر مبنای معیار VI و FM.



(شکل ۱۰): نتایج الگوریتم‌های پیشنهادی در مقایسه با الگوریتم‌های F، MM، RE، W-F، W-FF، W-FT و W-RE بر طبق معیار (الف) VI و (ب) FM.

### فاطمه علمدار مدرک کارشناسی



خود را در رشته مهندسی کامپیوتر گرایش نرم افزار در سال ۱۳۸۷ از دانشگاه شهید باهنر کرمان اخذ نمود. وی تحصیلات خود را در مقطع کارشناسی ارشد کامپیوتر گرایش

هوش مصنوعی در دانشگاه الزهرا (س) در سال ۱۳۹۰ به پایان رسانده است. زمینه های پژوهشی مورد علاقه او پردازش تصویر، بازشناسی الگو، الگوریتم های تکاملی و شبکه عصبی است.

نشانی رایانمک ایشان عبارتست از:

[fatemeh.alamdar@student.alzahra.ac.ir](mailto:fatemeh.alamdar@student.alzahra.ac.ir)

### محمد رضا کیوان پور مدرک



کارشناسی خود را در سال ۱۳۷۶ در رشته مهندسی کامپیوتر گرایش نرم افزار از دانشگاه علم و صنعت ایران، و مدارک کارشناسی ارشد و

دکترای خود را نیز به ترتیب در سال های ۱۳۷۹ و ۱۳۸۶ در رشته مهندسی کامپیوتر گرایش نرم افزار از دانشگاه تربیت مدرس اخذ نمود. وی از سال ۱۳۸۷ تاکنون عضو هیأت علمی دانشکده فنی و مهندسی دانشگاه الزهرا(س) است. زمینه های تحقیقاتی مورد علاقه او عبارتند از: پایگاه داده، یادگیری ماشین، داده کاوی، پردازش ویدئو و تصویر.

نشانی رایانمک ایشان عبارتست از:

[keyvanpour@alzahra.ac.ir](mailto:keyvanpour@alzahra.ac.ir)

فصل نهم  
دولت

شعله حا  
پرداز و درود

سال ۱۳۹۰ شماره ۲ پیاپی ۱۶

